

DoS-1.6222.1.6.2024

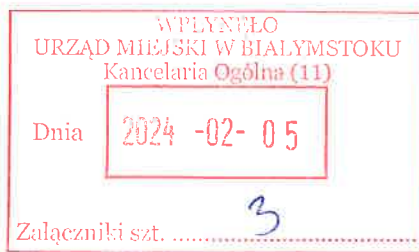
T-Mobile Polska S.A.
ul. Marynarska 12
02-674 Warszawa

Pełnomocnik: [redacted]
Pełnomocnictwo numer: 159/01/21

z dnia: 2021-01-13

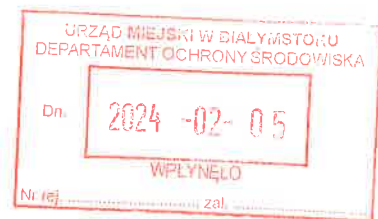
dane do korespondencji:

NetWorks Sp. z o.o.
ul. Józefa Piusa Dziekońskiego 3
00-728 Warszawa
tel. 506401236



Woj-tu (5) 44/35220/2024

Warszawa, dn. 2024-01-30



Prezydent Miasta Białystok

Urząd Miejski w Białymstoku

ul. Słonimska 1

15-950 Białystok

Dotyczy: ustawowego obowiązku, wynikającego z art. 152 ust. 1 i ust. 7 w związku z ust. 6 pkt 1c ustawy z dnia 27 kwietnia 2001r – Prawo ochrony środowiska (Dz.U. 2024 poz. 54).

Działając z upoważnienia T-Mobile Polska S.A. z siedzibą ul. Marynarska 12, 02-674 Warszawa, informuję o zmianie danych w zakresie wielkości i rodzaju emisji dla instalacji radiokomunikacyjnej **24035 (96023N!) WBI_BIALYSTOK_ELEWATORSKA52** zlokalizowanej w miejscowości BIAŁYSTOK, ul. ELEWATORSKA 52. W stosunku do informacji zawartej w zgłoszeniu realizowanym dla tej instalacji w trybie art. 152 ust. 1 i 5 ustawy z dnia 27 kwietnia 2001r – Prawo ochrony środowiska (Dz.U. 2024 poz. 54), dane ulegają zmianie w następujący sposób:

9. Wielkość i rodzaj emisji²⁾:

Pole elektromagnetyczne. EIRP poszczególnych anten zostało podane w pkt 12, tj.

Lp.	Równoważna moc promieniowana izotropowo (EIRP) [W]
1.	17269
2.	45293
3.	8676
4.	16755
5.	45293
6.	8676
7.	17288
8.	45293

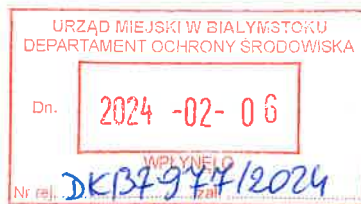
Lp.	Równoważna moc promieniowana izotropowo (EIRP) [W]
9.	8676
10.	10/14
11.	708
12.	15
13.	13
14.	2692
15.	1
16.	8338
17.	7080
18.	23498
19.	372/15
20.	372
21.	14
22.	14

12. Szczegółowe dane, odpowiednio do rodzaju instalacji, zgodne z wymaganiami określonymi w załączniku nr 2 do Rozporządzenia:

Lp.	1)	2)	3)	4)	5)	
	Współrzędne geograficzne	Częstotliwość lub zakresy częstotliwości pracy instalacji [MHz]	Wysokość środka elektrycznego anteny [m n.p.t]	Równoważna moc promieniowana izotropowo (EIRP) [W]	Azymut [°]	Kąt pochylenia lub zakresy kątów pochylenia [°]
1.	23°4'31.2" 53°8'35.4"	900/1800/2100	36.3	17269	20	-3-9/2.5/2.5
2.	23°4'31.2" 53°8'35.4"	3600	36.3	45293	20	-3-9
3.	23°4'31.2" 53°8'35.4"	800/2600	36.3	8676	20	-2-10/1.5
4.	23°4'31.3" 53°8'35.3"	900/1800/2100	36.3	16755	160	1-13/6.5/6.5
5.	23°4'31.2" 53°8'35.3"	3600	36.3	45293	160	-3-9
6.	23°4'31.3" 53°8'35.3"	800/2600	36.3	8676	160	2-14/5.5
7.	23°4'31.1" 53°8'35.3"	900/1800/2100	46.3	17288	280	-5-7/-4-8/-4-8
8.	23°4'31.2" 53°8'35.4"	3600	46.3	45293	280	-4-8



NetWorks Sp. z o.o.
Laboratorium Badań Środowiskowych
ul. Józefa Piłsudskiego 3
00-728 Warszawa
e-mail: Laboratorium@networks.pl

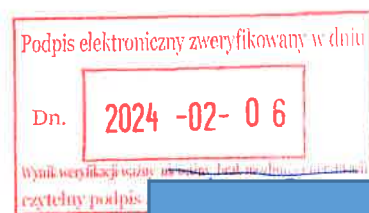


AB 419

S P R A W O Z D A N I E 2635/2023/OS
Z POMIARÓW PÓL ELEKTROMAGNETYCZNYCH
WYKONANYCH DLA POTRZEB OCHRONY ŚRODOWISKA

Badany obiekt: Instalacja radiokomunikacyjna T-Mobile Polska S.A.
Numer i nazwa: 24035 (96023N!) WBI_BIALYSTOK_ELEWATORSKA52
Adres: BIAŁYSTOK, ELEWATORSKA 52, Powiat m. Białystok, WOJ. PODLASKIE

Data wykonania pomiarów: 2024-02-01



Sprawozdanie z badań bez pisemnej zgody laboratorium nie może być powielane inaczej niż w całości.
Wynik przedstawione w niniejszym sprawozdaniu odnoszą się wyłącznie do badanego obiektu i do warunków i konfiguracji urządzeń w dniu wykonywania pomiarów.

1. Właściciel badanego obiektu:

T-Mobile Polska S.A., ul. Marynarska 12, 02-674 Warszawa

2. Zleceniodawca:

T-Mobile Polska S.A., ul. Marynarska 12, 02-674 Warszawa

3. Przedstawiciel zleceniodawcy:

NetWorks Sp. z o.o.

4. Zakres zlecenia:

Wykonanie badania i opracowanie sprawozdania z pomiarów natężenia pola elektrycznego i pola magnetycznego dla instalacji radiokomunikacyjnej T-Mobile Polska S.A. zlokalizowanej w miejscowości BIAŁYSTOK, ELEWATORSKA 52.

5. Cel zlecenia:

Wykonanie pomiarów pól elektromagnetycznych w otoczeniu instalacji radiokomunikacyjnej 24035 (96023N!) WBI_BIALYSTOK_ELEWATORSKA52 w odniesieniu do wymagań określonych w *Rozporządzeniu Ministra Klimatu z dnia 17 lutego 2020 r. w sprawie sposobów sprawdzania dotrzymania dopuszczalnych poziomów pól elektromagnetycznych w środowisku (Dz.U. 2022 poz. 2630)*.

6. Pomiary zostały wykonane przez:



7. Informacje o źródłach pól elektromagnetycznych

7.1. Sposób identyfikacji badanych źródeł pól elektromagnetycznych

Identyfikacji źródeł i parametrów technicznych dokonano na podstawie analizy dokumentacji dotyczącej zlecenia oraz obserwacji miejsca wykonywania badań.

7.2. Opis miejsca zainstalowania anten i urządzeń technicznych. Opis obiektu badań i jego otoczenia

Instalacja radiokomunikacyjna zlokalizowana jest na terenie ogrodzonym. Anteny zawieszono na wieży strunobetonowej. Urządzenia sterujące oraz zasilające zainstalowano w kontenerze u podstawy wieży. Wokół instalacji znajdują się tereny przemysłowe.

Instalacja radiokomunikacyjna jest obiektem bezobsługowym. Okresowe stanowiska pracy związane są z prowadzonymi w zależności od potrzeb konserwacjami, przeglądami, strojeniem i naprawami.

Sprawozdanie z badań bez pisemnej zgody laboratorium nie może być powielane inaczej niż w całości.
Wynik przedstawione w niniejszym sprawozdaniu odnoszą się wyłącznie do badanego obiektu i do warunków i konfiguracji urządzeń w dniu wykonywania pomiarów.

7.3. Parametry techniczne źródła pola elektromagnetycznego

Dane przedstawiające maksymalne parametry pracy instalacji przekazane przez zleceniodawcę:

Parametry systemu nadawczo-odbiorczego:

Charakterystyka promieniowania		kierunkowa					
Rzeczywisty czas pracy [h/dobę]		24					
Warunki pracy		znamionowe					
Rodzaj wytwarzanego pola		stacjonarne					
Lp.	Częstotliwość lub zakresy częstotliwości pracy [MHz]	Typ/producent anteny	liczba anten	Azymut [°]	kąt pochylenia [°]	Wysokość środka elektrycznego anteny [m n.p.t.]	Równoważna moc promieniowana izotropowo (EIRP) [W]
1	900/1800/2100	ATR4518R6v06 Huawei	1	20	-3-9**/2.5*/2.5*	36.3	17269
2	3600	AQQQ NSN	1	20	-3-9**	36.3	45293
3	800/2600	ATR4518R13 Huawei	1	20	-2-10**/1.5*	36.3	8676
4	900/1800/2100	ATR4518R6v06 Huawei	1	160	1-13**/6.5*/6.5*	36.3	16755
5	3600	AQQQ NSN	1	160	-3-9**	36.3	45293
6	800/2600	ATR4518R13 Huawei	1	160	2-14**/5.5*	36.3	8676
7	900/1800/2100	ATR4518R6v06 Huawei	1	280	-5-7**/-4-8**/-4-8**	46.3	17288
8	3600	AQQQ NSN	1	280	-4-8**	46.3	45293
9	800/2600	ATR4518R13 Huawei	1	280	-4-8**/-5-7**	46.3	8676

* wskazane wartości kąta pochylenia anten, zgodnie z informacją uzyskaną od zleceniodawcy, są wartościami stałymi

** pomiary wykonano zgodnie z pkt 13., ppkt 2 załącznika do Rozporządzenia Ministra Klimatu z dnia 17 lutego 2020 r. (Dz. U. 2022, poz. 2630).

Parametry radiolinii:

Charakterystyka promieniowania		kierunkowa					
Rzeczywisty czas pracy [h/dobę]		24					
Warunki pracy		znamionowe					
Rodzaj wytwarzanego pola		stacjonarne					
Lp.	Linia radiowa			Antena			
	Typ/ Producent	Częstotliwość pracy [GHz]	Równoważna moc promieniowana izotropowo (EIRP) [W]	Typ/ producent	Średnica anteny [m]	Azymut [°]	Wysokość zainstalowania n.p.t [m]
1.	Ericsson CN510 RAU2X Harris Stratex	38	10	ANT2_0.3 38 HP Ericsson	0.3	1	60
2.	Ericsson CN510 RAU2X Harris Stratex	38	14	ANT2_0.3 38 HP Ericsson	0.3	1	60
3.	NEC iPasolink 200 Harris Stratex	38	708	VHLP1-38 Andrew	0.3	11	60
4.	NEC iPasolink 100E Harris Stratex	38	15	VHLP1-38 Andrew	0.3	27	60
5.	ERICSSON CN510 6363 Harris Stratex	38	13	ANT3_0.3 38 HP/HPX Ericsson	0.3	100	60

Sprawozdanie z badań bez pisemnej zgody laboratorium nie może być powielane inaczej niż w całości.

Wynik przedstawione w niniejszym sprawozdaniu odnoszą się wyłącznie do badanego obiektu i do warunków i konfiguracji urządzeń w dniu wykonywania pomiarów.

Charakterystyka promieniowania			kierunkowa				
Rzeczywisty czas pracy [h/dobę]			24				
Warunki pracy			znamionowe				
Rodzaj wytwarzanego pola			stacjonarne				
Lp.	Linia radiowa			Antena			
	Typ/ Producent	Częstotliwość pracy [GHz]	Równoważna moc promieniowana izotropowo (EIRP) [W]	Typ/ producent	Średnica anteny [m]	Azymut [°]	Wysokość zainstalowania n.p.t [m]
6.	NP ERICSSON RAU2X 38GHZ 14MHz Ericsson	38	2692	ANT2_0.6 38 HP Ericsson	0.6	106	56.5
7.	Ericsson CN510 RAU2X Harris Stratex	38	1	ANT2_0.3 38 HP Ericsson	0.3	181	60
8.	NP ERICSSON RAU2X 38GHZ 2x56MHz XPIC Ericsson	38	8338	ANT2_0.6 38 HP/HPX Ericsson	0.6	259	56.5
9.	NP ERICSSON ML 6352 R2+ 70/80GHz 250MHz Ericsson	80	7080	ANT2_0.6 80 HP/HPX Ericsson	0.6	283	59
10.	NP ERICSSON RAU2X 23GHZ 2x56MHz XPIC Ericsson	23	23498	ANT2_1.2 23 HPX Ericsson	1.2	283	59
11.	Ericsson CN510 RAU2X Harris Stratex	32	15	ANT2_0.3 32 HP Andrew	0.3	291	60
12.	Ericsson CN510 RAU2X Harris Stratex	32	372	ANT2_0.3 32 HP Andrew	0.3	292	60
13.	Ericsson CN510 RAU2X Harris Stratex	32	372	ANT2_0.3 32 HP Andrew	0.3	293	60
14.	Ericsson CN510 RAU2X Harris Stratex	38	14	ANT2_0.3 38 HP Ericsson	0.3	298	60
15.	ERICSSON CN510 6363 Harris Stratex	38	14	ANT3_0.3 38 HP/HPX Ericsson	0.3	308	60

7.4 Inne źródła pól elektromagnetycznych

Na podstawie informacji otrzymanych od użytkownika oraz obserwacji otoczenia miejsca wykonywania pomiarów nie stwierdzono występowania innych źródeł pola-EM

8. Opis pomiarów

8.1. Metoda badań

Zgodna z rozporządzeniem Ministra Klimatu z dnia 17 lutego 2020 r. w sprawie sposobów sprawdzania dotrzymania dopuszczalnych poziomów pól elektromagnetycznych w środowisku (Dz.U. 2022 poz. 2630), określona w pkt 25 ppkt 1 załącznika do niniejszego rozporządzenia.

Sprawozdanie z badań bez pisemnej zgody laboratorium nie może być powielane inaczej niż w całości.
 Wynik przedstawione w niniejszym sprawozdaniu odnoszą się wyłącznie do badanego obiektu i do warunków i konfiguracji urządzeń w dniu wykonywania pomiarów.

8.2. Termin pomiarów i warunki środowiskowe

Podczas wykonywania pomiarów pól elektromagnetycznych nie występowały opady atmosferyczne. Wyniki pomiaru parametrów pogodowych przedstawia poniższa tabela:

Data [rrrr-mm-dd]	Godzina [hh:mm-hh:mm]	Warunki środowiskowe			
		Temperatura [°C]		Wilgotność względna [%]	
2024-02-01	10:50-12:20	Przed pomiarem	Po pomiarach	Przed pomiarem	Po pomiarach
		3.0	3.5	68.8	68.6

Przedstawione wyżej warunki środowiskowe, występujące podczas wykonywania pomiarów pól elektromagnetycznych, są zgodne ze specyfikacją techniczną użytego zestawu pomiarowego.

8.3. Warunki pracy urządzeń nadawczych

Podczas pomiarów w przypadku uzyskania wyniku pomiaru szerokopasmowego wykonanego zastosowaną metodą, dla zakresów częstotliwości od 10 MHz do 300 GHz, powiększonego o rozszerzoną niepewność pomiaru U dla współczynnika rozszerzenia $k = 2$ przekraczającego 70% najniższej dopuszczalnej wartości składowej elektrycznej lub magnetycznej pola dla objętych pomiarami zakresów częstotliwości, uwzględnia się poprawki pomiarowe przekazane przez zleceniodawcę, umożliwiające uwzględnienie maksymalnych parametrów pracy instalacji zgodnie z pkt 7 załącznika do Rozporządzeniem Ministra Klimatu z dnia 17 lutego 2020 r. w sprawie sposobów sprawdzania dotrzymania dopuszczalnych poziomów pól elektromagnetycznych w środowisku (Dz. U. 2022, poz. 2630) zaznaczając, że wymagane jest wykonanie pomiaru z wykorzystaniem miernika selektywnego. W przypadku uzyskania wyniku pomiaru szerokopasmowego wykonanego zastosowaną metodą, dla zakresów częstotliwości od 10 MHz do 300 GHz, powiększonego o rozszerzoną niepewność pomiaru U dla współczynnika rozszerzenia $k = 2$ nieprzekraczającego 70% najniższej dopuszczalnej wartości składowej elektrycznej lub magnetycznej pola dla objętych pomiarami zakresów częstotliwości, nie uwzględnia się poprawek pomiarowych.

8.4. Wyposażenie pomiarowe

Zestaw pomiarowy służący do pomiaru natężenia składowej elektrycznej pola elektromagnetycznego złożony z szerokopasmowego miernika i sondy pomiarowej:

Oznaczenie miernika	Producent	Model	Numer fabryczny	Oznaczenie sondy	Producent	Model	Numer fabryczny
MW-09	Wavecontrol	Miernik pól elektromagnetycznych SMP3	23SL0221	SW-18	Wavecontrol	Sonda WPF6-HP	23WP060414

Mierniki natężenia pola elektromagnetycznego podlegają okresowemu sprawdzeniu zgodnie z procedurą wewnętrzną P-03 i PB-01. Świadectwo wzorcowania zestawu pomiarowego z dnia 11 września 2023 o numerze LWiMP/W/333/23 wydane przez Politechnika Wrocławską.

Data ważności świadectwa wzorcowania: 11 września 2025 (zgodnie z procedurą wewnętrzną P-03).

Oznaczenie miernika	Producent	Model	Numer fabryczny	Oznaczenie sondy	Producent	Model	Numer fabryczny
MW-09	Wavecontrol	Miernik pól elektromagnetycznych SMP3	23SL0221	SW-18	Wavecontrol	Sonda WPF6-HP	23WP060414

Mierniki natężenia pola elektromagnetycznego podlegają okresowemu sprawdzeniu zgodnie z procedurą wewnętrzną P-03 i PB-01. Świadectwo wzorcowania zestawu pomiarowego z dnia 11 września 2023 o numerze LWiMP/W/333/23 wydane przez Politechnika Wrocławską.

Data ważności świadectwa wzorcowania: 11 września 2025 (zgodnie z procedurą wewnętrzną P-03).

Termohigrometr:

Oznaczenie:	TH-27	Producent:	AZ INSTRUMENT CORP	Model:	Termohigrometr AZ8706
-------------	-------	------------	--------------------	--------	-----------------------

Data ważności świadectwa wzorcowania: 19 października 2025 (zgodnie z procedurą wewnętrzną P-03).

Sprawozdanie z badań bez pisemnej zgody laboratorium nie może być powielane inaczej niż w całości.
Wynik przedstawione w niniejszym sprawozdaniu odnoszą się wyłącznie do badanego obiektu i do warunków i konfiguracji urządzeń w dniu wykonywania pomiarów.

Dalmierz:

Oznaczenie	Producent	Typ	Numer seryjny	Nr świadectwa wzorcowania	Data świadectwa wzorcowania
D-21	Leica	Dalmierz Leica Disto D510	1030440462	Z3- Z32.4180.152.2023.3253.4	23 października 2023

Data ważności świadectwa wzorcowania: 23 października 2033 (zgodnie z procedurą wewnętrzną P-03).

Odbiornik GNSS:

Odbiornik GNSS wbudowany w miernik natężenia pola elektromagnetycznego użyty podczas pomiarów	Producent	Model
	UBlox	MAX-M8Q

Odbiorniki podlegają okresowemu sprawdzeniu zgodnie z procedurą wewnętrzną P-03.

9. Wyniki pomiarów

Pole elektryczne

Nr pionu	Opis umiejscowienia pionu (punktu) pomiarowego	Wysokość pomiaru [m]	Zmierzona wartość natężenia pola elektrycznego E [V/m] ^{4,5}			Wartość natężenia pola elektrycznego powiększona o niepewność pomiaru ⁴ E [V/m]	Wskaźnikowa wartość poziomu emisji pól elektromagnetycznych WME ³	Współrzędne geograficzne pionu (punktu) pomiarowego ²
			Sonda SW-18	Sonda SW-18	SUMA			
1	DPP w płaszczyźnie otworu okiennego budynku biurowym, pokój księgowości, piętro 1	2.0	1.5	1.5	1.5	1.9	0.07	53°8'35.2" 23°4'32.2"
2	DPP za trwale zamkniętym oknem, budynek biurowy, korytarz, piętro 1	0.3-2.0	<1.0*	<1.0*	<1.0*	1.3	0.05	53°8'34.8" 23°4'32.2"
3	DPP w płaszczyźnie otworu okiennego, sklep motoryzacyjny	2.0	1.4	1.4	1.4	1.8	0.06	53°8'36.6" 23°4'31.8"
4	DPP w płaszczyźnie okna budynku parterowego usługowego	0.3-2.0	<1.0*	<1.0*	<1.0*	1.3	0.05	53°8'36.2" 23°4'30.4"
5	DPP za trwale zamkniętym oknem, budynek biurowy, piętro 1	0.3-2.0	<1.0*	<1.0*	<1.0*	1.3	0.05	53°8'34.1" 23°4'32.2"
6	DPP w płaszczyźnie otworu okiennego, budynek biurowy, piętro 1	2.0	1.4	1.4	1.4	1.8	0.06	53°8'34.1" 23°4'31.8"
7	GKP w odległości 9m od anteny sektorowej az. 20°	2.0	1.4	1.4	1.4	1.8	0.06	53°8'35.5" 23°4'31.4"
8	GKP w odległości 28m od anteny sektorowej az. 20°	2.0	1.4	1.4	1.4	1.8	0.06	53°8'36.2" 23°4'31.8"
9	DPP w wejściu do parterowego budynku usługowego	0.3-2.0	<1.0*	<1.0*	<1.0*	1.3	0.05	53°8'37.3" 23°4'32.2"

Sprawozdanie z badań bez pisemnej zgody laboratorium nie może być powielane inaczej niż w całości.

Wynik przedstawione w niniejszym sprawozdaniu odnoszą się wyłącznie do badanego obiektu i do warunków i konfiguracji urządzeń w dniu wykonywania pomiarów.

10	GKP w odległości 78m od anteny sektorowej az. 20°	0.3-2.0	<1.0*	<1.0*	<1.0*	1.3	0.05	53°8'37.7" 23°4'32.5"
11	GKP w odległości 117m od anteny sektorowej az. 20°	0.3-2.0	<1.0*	<1.0*	<1.0*	1.3	0.05	53°8'39.1" 23°4'33.2"
-	GKP w odległości 297m od anteny sektorowej az. 20°	0.3-2.0	<1.0*	<1.0*	<1.0*	1.3	0.05	53°8'44.5" 23°4'36.8"
-	GKP w odległości 347m od anteny sektorowej az. 20°	0.3-2.0	<1.0*	<1.0*	<1.0*	1.3	0.05	53°8'46.0" 23°4'37.6"
14	GKP w odległości 8m od anteny sektorowej az. 160°	2.0	1.4	1.4	1.4	1.8	0.06	53°8'35.2" 23°4'31.4"
15	GKP w odległości 20m od anteny sektorowej az. 160°	2.0	1.3	1.3	1.3	1.6	0.06	53°8'34.8" 23°4'31.4"
16	GKP w odległości 32m od anteny sektorowej az. 160°	0.3-2.0	<1.0*	<1.0*	<1.0*	1.3	0.05	53°8'34.4" 23°4'31.8"
17	GKP w odległości 84m od anteny sektorowej az. 160°	0.3-2.0	<1.0*	<1.0*	<1.0*	1.3	0.05	53°8'32.6" 23°4'32.9"
-	GKP w odległości 188m od anteny sektorowej az. 160°	0.3-2.0	<1.0*	<1.0*	<1.0*	1.3	0.05	53°8'29.8" 23°4'34.7"
-	GKP w odległości 209m od anteny sektorowej az. 160°	0.3-2.0	<1.0*	<1.0*	<1.0*	1.3	0.05	53°8'29.0" 23°4'35.0"
-	GKP w odległości 262m od anteny sektorowej az. 160°	0.3-2.0	<1.0*	<1.0*	<1.0*	1.3	0.05	53°8'27.2" 23°4'36.1"
21	GKP w odległości 11m od anteny sektorowej az. 280°	2.0	1.4	1.4	1.4	1.8	0.06	53°8'35.5" 23°4'30.7"
22	GKP w odległości 31m od anteny sektorowej az. 280°	2.0	1.3	1.3	1.3	1.6	0.06	53°8'35.5" 23°4'29.3"
23	GKP w odległości 57m od anteny sektorowej az. 280°	0.3-2.0	<1.0*	<1.0*	<1.0*	1.3	0.05	53°8'35.5" 23°4'28.2"
24	GKP w odległości 105m od anteny sektorowej az. 280°	0.3-2.0	<1.0*	<1.0*	<1.0*	1.3	0.05	53°8'35.9" 23°4'25.7"
-	GKP w odległości 159m od anteny sektorowej az. 280°	0.3-2.0	<1.0*	<1.0*	<1.0*	1.3	0.05	53°8'36.2" 23°4'22.8"
-	GKP w odległości 455m od anteny sektorowej az. 280°	0.3-2.0	<1.0*	<1.0*	<1.0*	1.3	0.05	53°8'38.0" 23°4'7.0"
27	GKP w odległości 12m od anteny radioliniowej az. 27°	2.0	1.4	1.4	1.4	1.8	0.06	53°8'35.9" 23°4'31.4"

Sprawozdanie z badań bez pisemnej zgody laboratorium nie może być powielane inaczej niż w całości.
 Wynik przedstawione w niniejszym sprawozdaniu odnoszą się wyłącznie do badanego obiektu i do warunków i konfiguracji urządzeń w dniu wykonywania pomiarów.

28	GKP w odległości 34m od anteny radioliniowej az. 27°	2.0	1.4	1.4	1.4	1.8	0.06	53°8'36.2" 23°4'32.2"
29	GKP w odległości 78m od anteny radioliniowej az. 27°	0.3-2.0	<1.0*	<1.0*	<1.0*	1.3	0.05	53°8'37.7" 23°4'33.2"
30	GKP w odległości 8m od anteny radioliniowej az. 100°, 106°	2.0	1.4	1.4	1.4	1.8	0.06	53°8'35.2" 23°4'31.8"
31	GKP w odległości 90m od anteny radioliniowej az. 100°	0.3-2.0	<1.0*	<1.0*	<1.0*	1.3	0.05	53°8'34.8" 23°4'36.1"
32	GKP w odległości 73m od anteny radioliniowej az. 106°	0.3-2.0	<1.0*	<1.0*	<1.0*	1.3	0.05	53°8'34.8" 23°4'35.0"
33	GKP w odległości 15m od anteny radioliniowej az. 181°	2.0	1.3	1.3	1.3	1.6	0.06	53°8'34.8" 23°4'31.1"
34	GKP w odległości 41m od anteny radioliniowej az. 181°	0.3-2.0	<1.0*	<1.0*	<1.0*	1.3	0.05	53°8'34.1" 23°4'31.1"
35	GKP w odległości 84m od anteny radioliniowej az. 181°	0.3-2.0	<1.0*	<1.0*	<1.0*	1.3	0.05	53°8'32.6" 23°4'31.1"
36	GKP w odległości 15m od anteny radioliniowej az. 259°	2.0	1.3	1.3	1.3	1.6	0.06	53°8'35.2" 23°4'30.4"
37	GKP w odległości 49m od anteny radioliniowej az. 259°	0.3-2.0	<1.0*	<1.0*	<1.0*	1.3	0.05	53°8'35.2" 23°4'28.6"
38	GKP w odległości 85m od anteny radioliniowej az. 259°	0.3-2.0	<1.0*	<1.0*	<1.0*	1.3	0.05	53°8'34.8" 23°4'26.8"
39	GKP w odległości 18m od anteny radioliniowej az. 298°, 283°, 291°, 292°, 293°, 308°	2.0	1.4	<1.4*	1.4	1.8	0.06	53°8'35.5" 23°4'30.4"
40	GKP w odległości 42m od anteny radioliniowej az. 292°, 291°, 293°, 298°	0.3-2.0	<1.0*	<1.0*	<1.0*	1.3	0.05	53°8'35.9" 23°4'29.3"
41	GKP w odległości 90m od anteny radioliniowej az. 292°, 291°, 293°	0.3-2.0	<1.0*	<1.0*	<1.0*	1.3	0.05	53°8'36.6" 23°4'26.8"
42	GKP w odległości 88m od anteny radioliniowej az. 298°	0.3-2.0	<1.0*	<1.0*	<1.0*	1.3	0.05	53°8'36.6" 23°4'27.1"
43	GKP w odległości 89m od anteny radioliniowej az. 283°	0.3-2.0	<1.0*	<1.0*	<1.0*	1.3	0.05	53°8'35.9" 23°4'26.4"
44	GKP w odległości 64m od anteny radioliniowej az. 283°	0.3-2.0	<1.0*	<1.0*	<1.0*	1.3	0.05	53°8'35.9" 23°4'27.8"
45	GKP w odległości 24m od anteny radioliniowej az. 308°	2.0	1.3	1.3	1.3	1.6	0.06	53°8'35.9" 23°4'30.0"

Sprawozdanie z badań bez pisemnej zgody laboratorium nie może być powielane inaczej niż w całości.
 Wynik przedstawione w niniejszym sprawozdaniu odnoszą się wyłącznie do badanego obiektu i do warunków i konfiguracji urządzeń w dniu wykonywania pomiarów.

46	GKP w odległości 45m od anteny radioliniowej az. 308°	0.3-2.0	<1.0*	<1.0*	<1.0*	1.3	0.05	53°8'36.2" 23°4'29.3"
47	GKP w odległości 85m od anteny radioliniowej az. 308°	0.3-2.0	<1.0*	<1.0*	<1.0*	1.3	0.05	53°8'37.0" 23°4'27.5"
48	GKP w odległości 31m od anteny radioliniowej az. 1°	0.3-2.0	<1.0*	<1.0*	<1.0*	1.3	0.05	53°8'36.2" 23°4'31.1"
49	GKP w odległości 70m od anteny radioliniowej az. 1°	0.3-2.0	<1.0*	<1.0*	<1.0*	1.3	0.05	53°8'37.7" 23°4'31.1"
50	GKP w odległości 42m od anteny radioliniowej az. 11°	2.0	1.2	1.2	1.2	1.5	0.05	53°8'36.6" 23°4'31.4"
51	GKP w odległości 73m od anteny radioliniowej az. 11°	0.3-2.0	<1.0*	<1.0*	<1.0*	1.3	0.05	53°8'37.7" 23°4'31.8"
52	PKP na az. 345° w odległości 51m od anteny sektorowej az. 20°	0.3-2.0	<1.0*	<1.0*	<1.0*	1.3	0.05	53°8'37.0" 23°4'30.4"
53	PKP na az. 0° w odległości 45m od anteny sektorowej az. 20°	0.3-2.0	<1.0*	<1.0*	<1.0*	1.3	0.05	53°8'37.0" 23°4'31.1"
54	PKP na az. 13° w odległości 40m od anteny sektorowej az. 20°	2.0	1.2	1.2	1.2	1.5	0.05	53°8'36.6" 23°4'31.8"
55	PKP na az. 40° w odległości 45m od anteny sektorowej az. 20°	0.3-2.0	<1.0*	<1.0*	<1.0*	1.3	0.05	53°8'36.6" 23°4'32.9"
56	PKP na az. 55° w odległości 49m od anteny sektorowej az. 20°	0.3-2.0	<1.0*	<1.0*	<1.0*	1.3	0.05	53°8'36.2" 23°4'33.2"
57	PKP na az. 125° w odległości 45m od anteny sektorowej az. 160°	0.3-2.0	<1.0*	<1.0*	<1.0*	1.3	0.05	53°8'34.4" 23°4'33.2"
58	PKP na az. 140° w odległości 43m od anteny sektorowej az. 160°	0.3-2.0	<1.0*	<1.0*	<1.0*	1.3	0.05	53°8'34.1" 23°4'32.9"
59	PKP na az. 153° w odległości 38m od anteny sektorowej az. 160°	0.3-2.0	<1.0*	<1.0*	<1.0*	1.3	0.05	53°8'34.1" 23°4'32.2"
60	PKP na az. 167° w odległości 34m od anteny sektorowej az. 160°	0.3-2.0	<1.0*	<1.0*	<1.0*	1.3	0.05	53°8'34.1" 23°4'31.8"
61	PKP na az. 180° w odległości 37m od anteny sektorowej az. 160°	0.3-2.0	<1.0*	<1.0*	<1.0*	1.3	0.05	53°8'34.1" 23°4'31.1"

Sprawozdanie z badań bez pisemnej zgody laboratorium nie może być powielane inaczej niż w całości.
 Wynik przedstawione w niniejszym sprawozdaniu odnoszą się wyłącznie do badanego obiektu i do warunków i konfiguracji urządzeń w dniu wykonywania pomiarów.

62	PKP na az. 195° w odległości 47m od anteny sektorowej az. 160°	0.3-2.0	<1.0*	<1.0*	<1.0*	1.3	0.05	53°8'33.7" 23°4'30.7"
63	PKP na az. 245° w odległości 50m od anteny sektorowej az. 280°	0.3-2.0	<1.0*	<1.0*	<1.0*	1.3	0.05	53°8'34.8" 23°4'28.6"
64	PKP na az. 260° w odległości 45m od anteny sektorowej az. 280°	0.3-2.0	<1.0*	<1.0*	<1.0*	1.3	0.05	53°8'35.2" 23°4'28.9"
65	PKP na az. 273° w odległości 52m od anteny sektorowej az. 280°	0.3-2.0	<1.0*	<1.0*	<1.0*	1.3	0.05	53°8'35.5" 23°4'28.6"
66	PKP na az. 287° w odległości 51m od anteny sektorowej az. 280°	0.3-2.0	<1.0*	<1.0*	<1.0*	1.3	0.05	53°8'35.9" 23°4'28.6"
67	PKP na az. 300° w odległości 51m od anteny sektorowej az. 280°	0.3-2.0	<1.0*	<1.0*	<1.0*	1.3	0.05	53°8'36.2" 23°4'28.9"
68	PKP na az. 315° w odległości 50m od anteny sektorowej az. 280°	0.3-2.0	<1.0*	<1.0*	<1.0*	1.3	0.05	53°8'36.6" 23°4'29.3"

Pole magnetyczne (wyznaczone na podstawie pomiaru wartości natężenia pola elektrycznego)

Nr pionu	Opis umiejscowienia pionu (punktu) pomiarowego	Wysokość pomiaru [m]	Wartość natężenia pola magnetycznego H [A/m] ¹			Wartość natężenia pola magnetycznego powiększona o niepewność pomiaru ⁴ H [A/m]	Wskaźnikowa wartość poziomu emisji pól elektromagnetycznych WM _H ³	Współrzędne geograficzne pionu (punktu) pomiarowego ²
			Sonda SW-18	Sonda SW-18	SUMA			
1	DPP w płaszczyźnie otworu okiennego budynku biurowym, pokój księgowości, piętro 1	2.0	0.004	0.004	0.004	0.005	0.07	53°8'35.2" 23°4'32.2"
2	DPP za trwałe zamkniętym oknem, budynek biurowy, korytarz, piętro 1	0.3-2.0	<0.003*	<0.003*	<0.003*	0.003	0.05	53°8'34.8" 23°4'32.2"
3	DPP w płaszczyźnie otworu okiennego, sklep motoryzacyjny	2.0	0.004	0.004	0.004	0.005	0.06	53°8'36.6" 23°4'31.8"
4	DPP w płaszczyźnie okna budynku parterowego usługowego	0.3-2.0	<0.003*	<0.003*	<0.003*	0.003	0.05	53°8'36.2" 23°4'30.4"

Sprawozdanie z badań bez pisemnej zgody laboratorium nie może być powielane inaczej niż w całości.
 Wynik przedstawione w niniejszym sprawozdaniu odnoszą się wyłącznie do badanego obiektu i do warunków i konfiguracji urządzeń w dniu wykonywania pomiarów.

5	DPP za trwale zamkniętym oknem, budynek biurowy, piętro 1	0.3-2.0	<0.003*	<0.003*	<0.003*	0.003	0.05	53°8'34.1" 23°4'32.2"
6	DPP w płaszczyźnie otworu okiennego, budynek biurowy, piętro 1	2.0	0.004	0.004	0.004	0.005	0.06	53°8'34.1" 23°4'31.8"
7	GKP w odległości 9m od anteny sektorowej az. 20°	2.0	0.004	0.004	0.004	0.005	0.06	53°8'35.5" 23°4'31.4"
8	GKP w odległości 28m od anteny sektorowej az. 20°	2.0	0.004	0.004	0.004	0.005	0.06	53°8'36.2" 23°4'31.8"
9	DPP w wejściu do parterowego budynku usługowego	0.3-2.0	<0.003*	<0.003*	<0.003*	0.003	0.05	53°8'37.3" 23°4'32.2"
10	GKP w odległości 78m od anteny sektorowej az. 20°	0.3-2.0	<0.003*	<0.003*	<0.003*	0.003	0.05	53°8'37.7" 23°4'32.5"
11	GKP w odległości 117m od anteny sektorowej az. 20°	0.3-2.0	<0.003*	<0.003*	<0.003*	0.003	0.05	53°8'39.1" 23°4'33.2"
12	GKP w odległości 297m od anteny sektorowej az. 20°	0.3-2.0	<0.003*	<0.003*	<0.003*	0.003	0.05	53°8'44.5" 23°4'36.8"
13	GKP w odległości 347m od anteny sektorowej az. 20°	0.3-2.0	<0.003*	<0.003*	<0.003*	0.003	0.05	53°8'46.0" 23°4'37.6"
14	GKP w odległości 8m od anteny sektorowej az. 160°	2.0	0.004	0.004	0.004	0.005	0.06	53°8'35.2" 23°4'31.4"
15	GKP w odległości 20m od anteny sektorowej az. 160°	2.0	0.003	0.003	0.003	0.004	0.06	53°8'34.8" 23°4'31.4"
16	GKP w odległości 32m od anteny sektorowej az. 160°	0.3-2.0	<0.003*	<0.003*	<0.003*	0.003	0.05	53°8'34.4" 23°4'31.8"
17	GKP w odległości 84m od anteny sektorowej az. 160°	0.3-2.0	<0.003*	<0.003*	<0.003*	0.003	0.05	53°8'32.6" 23°4'32.9"

Sprawozdanie z badań bez pisemnej zgody laboratorium nie może być powielane inaczej niż w całości.
 Wynik przedstawione w niniejszym sprawozdaniu odnoszą się wyłącznie do badanego obiektu i do warunków i konfiguracji urządzeń w dniu wykonywania pomiarów.

-	GKP w odległości 188m od anteny sektorowej az. 160°	0.3-2.0	<0.003*	<0.003*	<0.003*	0.003	0.05	53°8'29.8" 23°4'34.7"
-	GKP w odległości 209m od anteny sektorowej az. 160°	0.3-2.0	<0.003*	<0.003*	<0.003*	0.003	0.05	53°8'29.0" 23°4'35.0"
-	GKP w odległości 262m od anteny sektorowej az. 160°	0.3-2.0	<0.003*	<0.003*	<0.003*	0.003	0.05	53°8'27.2" 23°4'36.1"
21	GKP w odległości 11m od anteny sektorowej az. 280°	2.0	0.004	0.004	0.004	0.005	0.06	53°8'35.5" 23°4'30.7"
22	GKP w odległości 31m od anteny sektorowej az. 280°	2.0	0.003	0.003	0.003	0.004	0.06	53°8'35.5" 23°4'29.3"
23	GKP w odległości 57m od anteny sektorowej az. 280°	0.3-2.0	<0.003*	<0.003*	<0.003*	0.003	0.05	53°8'35.5" 23°4'28.2"
24	GKP w odległości 105m od anteny sektorowej az. 280°	0.3-2.0	<0.003*	<0.003*	<0.003*	0.003	0.05	53°8'35.9" 23°4'25.7"
-	GKP w odległości 159m od anteny sektorowej az. 280°	0.3-2.0	<0.003*	<0.003*	<0.003*	0.003	0.05	53°8'36.2" 23°4'22.8"
-	GKP w odległości 455m od anteny sektorowej az. 280°	0.3-2.0	<0.003*	<0.003*	<0.003*	0.003	0.05	53°8'38.0" 23°4'7.0"
27	GKP w odległości 12m od anteny radioliniowej az. 27°	2.0	0.004	0.004	0.004	0.005	0.06	53°8'35.9" 23°4'31.4"
28	GKP w odległości 34m od anteny radioliniowej az. 27°	2.0	0.004	0.004	0.004	0.005	0.06	53°8'36.2" 23°4'32.2"
29	GKP w odległości 78m od anteny radioliniowej az. 27°	0.3-2.0	<0.003*	<0.003*	<0.003*	0.003	0.05	53°8'37.7" 23°4'33.2"
30	GKP w odległości 8m od anteny radioliniowej az. 100°, 106°	2.0	0.004	0.004	0.004	0.005	0.06	53°8'35.2" 23°4'31.8"
31	GKP w odległości 90m od anteny radioliniowej az. 100°	0.3-2.0	<0.003*	<0.003*	<0.003*	0.003	0.05	53°8'34.8" 23°4'36.1"

Sprawozdanie z badań bez pisemnej zgody laboratorium nie może być powielane inaczej niż w całości.
 Wynik przedstawione w niniejszym sprawozdaniu odnoszą się wyłącznie do badanego obiektu i do warunków i konfiguracji urządzeń w dniu wykonywania pomiarów.

32	GKP w odległości 73m od anteny radioliniowej az. 106°	0.3-2.0	<0.003*	<0.003*	<0.003*	0.003	0.05	53°8'34.8" 23°4'35.0"
33	GKP w odległości 15m od anteny radioliniowej az. 181°	2.0	0.003	0.003	0.003	0.004	0.06	53°8'34.8" 23°4'31.1"
34	GKP w odległości 41m od anteny radioliniowej az. 181°	0.3-2.0	<0.003*	<0.003*	<0.003*	0.003	0.05	53°8'34.1" 23°4'31.1"
35	GKP w odległości 84m od anteny radioliniowej az. 181°	0.3-2.0	<0.003*	<0.003*	<0.003*	0.003	0.05	53°8'32.6" 23°4'31.1"
36	GKP w odległości 15m od anteny radioliniowej az. 259°	2.0	0.003	0.003	0.003	0.004	0.06	53°8'35.2" 23°4'30.4"
37	GKP w odległości 49m od anteny radioliniowej az. 259°	0.3-2.0	<0.003*	<0.003*	<0.003*	0.003	0.05	53°8'35.2" 23°4'28.6"
38	GKP w odległości 85m od anteny radioliniowej az. 259°	0.3-2.0	<0.003*	<0.003*	<0.003*	0.003	0.05	53°8'34.8" 23°4'26.8"
39	GKP w odległości 18m od anteny radioliniowej az. 298°,283°,291°,292°,293°,308°	2.0	0.004	<0.004*	0.004	0.005	0.06	53°8'35.5" 23°4'30.4"
40	GKP w odległości 42m od anteny radioliniowej az. 292°,291°,293°,298°	0.3-2.0	<0.003*	<0.003*	<0.003*	0.003	0.05	53°8'35.9" 23°4'29.3"
41	GKP w odległości 90m od anteny radioliniowej az. 292°,291°,293°	0.3-2.0	<0.003*	<0.003*	<0.003*	0.003	0.05	53°8'36.6" 23°4'26.8"
42	GKP w odległości 88m od anteny radioliniowej az. 298°	0.3-2.0	<0.003*	<0.003*	<0.003*	0.003	0.05	53°8'36.6" 23°4'27.1"
43	GKP w odległości 89m od anteny radioliniowej az. 283°	0.3-2.0	<0.003*	<0.003*	<0.003*	0.003	0.05	53°8'35.9" 23°4'26.4"
44	GKP w odległości 64m od anteny radioliniowej az. 283°	0.3-2.0	<0.003*	<0.003*	<0.003*	0.003	0.05	53°8'35.9" 23°4'27.8"
45	GKP w odległości 24m od anteny radioliniowej az. 308°	2.0	0.003	0.003	0.003	0.004	0.06	53°8'35.9" 23°4'30.0"

Sprawozdanie z badań bez pisemnej zgody laboratorium nie może być powielane inaczej niż w całości.
 Wynik przedstawione w niniejszym sprawozdaniu odnoszą się wyłącznie do badanego obiektu i do warunków i konfiguracji urządzeń w dniu wykonywania pomiarów.

46	GKP w odległości 45m od anteny radioliniowej az. 308°	0.3-2.0	<0.003*	<0.003*	<0.003*	0.003	0.05	53°8'36.2" 23°4'29.3"
47	GKP w odległości 85m od anteny radioliniowej az. 308°	0.3-2.0	<0.003*	<0.003*	<0.003*	0.003	0.05	53°8'37.0" 23°4'27.5"
48	GKP w odległości 31m od anteny radioliniowej az. 1°	0.3-2.0	<0.003*	<0.003*	<0.003*	0.003	0.05	53°8'36.2" 23°4'31.1"
49	GKP w odległości 70m od anteny radioliniowej az. 1°	0.3-2.0	<0.003*	<0.003*	<0.003*	0.003	0.05	53°8'37.7" 23°4'31.1"
50	GKP w odległości 42m od anteny radioliniowej az. 11°	2.0	0.003	0.003	0.003	0.004	0.06	53°8'36.6" 23°4'31.4"
51	GKP w odległości 73m od anteny radioliniowej az. 11°	0.3-2.0	<0.003*	<0.003*	<0.003*	0.003	0.05	53°8'37.7" 23°4'31.8"
52	PKP na az. 345° w odległości 51m od anteny sektorowej az. 20°	0.3-2.0	<0.003*	<0.003*	<0.003*	0.003	0.05	53°8'37.0" 23°4'30.4"
53	PKP na az. 0° w odległości 45m od anteny sektorowej az. 20°	0.3-2.0	<0.003*	<0.003*	<0.003*	0.003	0.05	53°8'37.0" 23°4'31.1"
54	PKP na az. 13° w odległości 40m od anteny sektorowej az. 20°	2.0	0.003	0.003	0.003	0.004	0.06	53°8'36.6" 23°4'31.8"
55	PKP na az. 40° w odległości 45m od anteny sektorowej az. 20°	0.3-2.0	<0.003*	<0.003*	<0.003*	0.003	0.05	53°8'36.6" 23°4'32.9"
56	PKP na az. 55° w odległości 49m od anteny sektorowej az. 20°	0.3-2.0	<0.003*	<0.003*	<0.003*	0.003	0.05	53°8'36.2" 23°4'33.2"
57	PKP na az. 125° w odległości 45m od anteny sektorowej az. 160°	0.3-2.0	<0.003*	<0.003*	<0.003*	0.003	0.05	53°8'34.4" 23°4'33.2"
58	PKP na az. 140° w odległości 43m od anteny sektorowej az. 160°	0.3-2.0	<0.003*	<0.003*	<0.003*	0.003	0.05	53°8'34.1" 23°4'32.9"
59	PKP na az. 153° w odległości 38m od anteny sektorowej az. 160°	0.3-2.0	<0.003*	<0.003*	<0.003*	0.003	0.05	53°8'34.1" 23°4'32.2"

Sprawozdanie z badań bez pisemnej zgody laboratorium nie może być powielane inaczej niż w całości.
 Wynik przedstawione w niniejszym sprawozdaniu odnoszą się wyłącznie do badanego obiektu i do warunków i konfiguracji urządzeń w dniu wykonywania pomiarów.

60	PKP na az. 167° w odległości 34m od anteny sektorowej az. 160°	0.3-2.0	<0.003*	<0.003*	<0.003*	0.003	0.05	53°8'34.1" 23°4'31.8"
61	PKP na az. 180° w odległości 37m od anteny sektorowej az. 160°	0.3-2.0	<0.003*	<0.003*	<0.003*	0.003	0.05	53°8'34.1" 23°4'31.1"
62	PKP na az. 195° w odległości 47m od anteny sektorowej az. 160°	0.3-2.0	<0.003*	<0.003*	<0.003*	0.003	0.05	53°8'33.7" 23°4'30.7"
63	PKP na az. 245° w odległości 50m od anteny sektorowej az. 280°	0.3-2.0	<0.003*	<0.003*	<0.003*	0.003	0.05	53°8'34.8" 23°4'28.6"
64	PKP na az. 260° w odległości 45m od anteny sektorowej az. 280°	0.3-2.0	<0.003*	<0.003*	<0.003*	0.003	0.05	53°8'35.2" 23°4'28.9"
65	PKP na az. 273° w odległości 52m od anteny sektorowej az. 280°	0.3-2.0	<0.003*	<0.003*	<0.003*	0.003	0.05	53°8'35.5" 23°4'28.6"
66	PKP na az. 287° w odległości 51m od anteny sektorowej az. 280°	0.3-2.0	<0.003*	<0.003*	<0.003*	0.003	0.05	53°8'35.9" 23°4'28.6"
67	PKP na az. 300° w odległości 51m od anteny sektorowej az. 280°	0.3-2.0	<0.003*	<0.003*	<0.003*	0.003	0.05	53°8'36.2" 23°4'28.9"
68	PKP na az. 315° w odległości 50m od anteny sektorowej az. 280°	0.3-2.0	<0.003*	<0.003*	<0.003*	0.003	0.05	53°8'36.6" 23°4'29.3"

GKP – Główny Kierunek Pomiarowy

DPP – Dodatkowy Pion Pomiarowy

PKP – Pomocniczy Kierunek Pomiarowy

¹ wyniki oznaczone * są wynikami poniżej czułości zestawu pomiarowego i są wynikami spoza zakresu akredytacji. Do obliczenia wyniku skorygowanego przyjęto wartość skorelowaną z rzeczywistym wynikiem pomiaru - dolną granicę akredytowanego zakresu pomiarowego metody

² współrzędne geograficzne pozyskane metodą pomiaru bezpośredniego

³ do wyznaczenia wartości wskaźnikowej W_{ME} i W_{MH} przyjęto na podstawie uzgodnień z klientem oraz rozpoznania źródeł, jako wartości dopuszczalne pola elektrycznego i magnetycznego odpowiednio 28 V/m i 0,073 A/m.

⁴ do wyznaczenia niepewności dla wyników poniżej czułości zestawu pomiarowego, przyjęto niepewność dla minimalnej wartości z zakresu pomiarowego.

⁵ maksymalna wartość chwilowa

Niepewność oszacowano zgodnie z dokumentem P-03 „Procedura nadzoru nad wyposażeniem” w postaci niepewności rozszerzonej wynikającej z niepewności standardowej pomnożonej przez współczynnik rozszerzenia $k=2$.

Całkowita szacowana niepewność rozszerzona składowej E wynosi odpowiednio:

sonda SW-18: 26.2% dla częstotliwości do 4 GHz, sonda SW-18: 26.2% dla częstotliwości do 4 GHz

Umiejscowienie pionów (punktów) pomiarowych przedstawiono w załączniku nr 2 do niniejszego sprawozdania.

Sprawozdanie z badań bez pisemnej zgody laboratorium nie może być powielane inaczej niż w całości.

Wynik przedstawione w niniejszym sprawozdaniu odnoszą się wyłącznie do badanego obiektu i do warunków i konfiguracji urządzeń w dniu wykonywania pomiarów.

10. Omówienie wyników pomiarów

W związku z tym, że żadna z wartości zmierzonych, udokumentowanych w tabelach w pkt. 9, uzyskanych w skutek zastosowania pomiaru szerokopasmowego, powiększonego o rozszerzoną niepewność pomiaru U dla współczynnika rozszerzenia $k = 2$ nie przekroczyła 70% najniższej dopuszczalnej wartości składowej elektrycznej lub magnetycznej pola dla objętych pomiarami zakresów częstotliwości, nie uwzględnia się poprawek pomiarowych.

W wyniku zastosowania sposobu sprawdzenia dotrzymania dopuszczalnych poziomów pól elektromagnetycznych w środowisku, zgodnie pkt 25 ppkt 1 Rozporządzenia Ministra Klimatu z dnia 17 lutego 2020 r. (Dz. U. 2022, poz. 2630), w związku z tym, że żadna z wartości wskaźnikowych, udokumentowanych w tabelach w pkt. 9 nie przekracza wartości 1, stwierdza się, że w miejscach, w których wykonano pomiary w otoczeniu instalacji radiokomunikacyjnej 24035 (96023N!) WBI_BIALYSTOK_ELEWATORSKA52, dopuszczalne poziomy pól elektromagnetycznych w środowisku należy uznać za dotrzymane.

11. Podstawa prawna

- 1) Ustawa z dnia 27 kwietnia 2001 r. Prawo ochrony środowiska (Dz.U. 2022 poz. 2556)
- 2) Rozporządzenie Ministra Zdrowia z dnia 17 grudnia 2019 r. w sprawie dopuszczalnych poziomów pól elektromagnetycznych w środowisku (Dz. U. 2019, poz. 2448)
- 3) Rozporządzenie Ministra Klimatu z dnia 17 lutego 2020 r. w sprawie sposobów sprawdzania dotrzymania dopuszczalnych poziomów pól elektromagnetycznych w środowisku (Dz. U. 2022, poz. 2630),
- 4) Akredytacja nr AB 419 wydana przez Polskie Centrum Akredytacji (wydanie 22, z dnia 9 stycznia 2024 r.)

12. Spis załączników

- Załącznik 1. Lokalizacja obiektu badań
- Załącznik 2. Usytuowanie pionów (punktów) pomiarowych
- Załącznik 3. Dokumentacja fotograficzna obiektu badań

13. Data wydania i autoryzowania sprawozdania

Obliczenia i sprawozdanie wykonał :

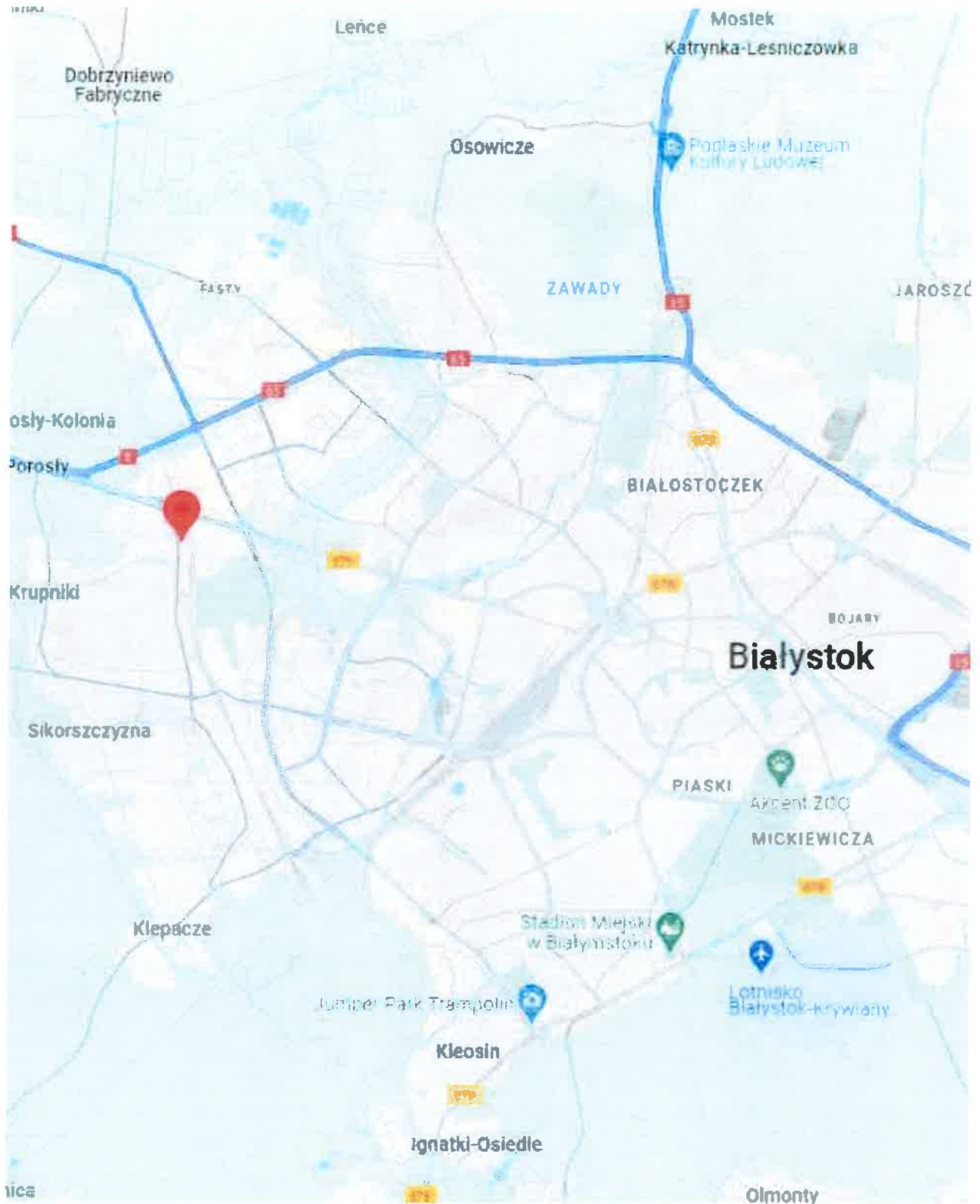


Sprawozdanie autoryzował:

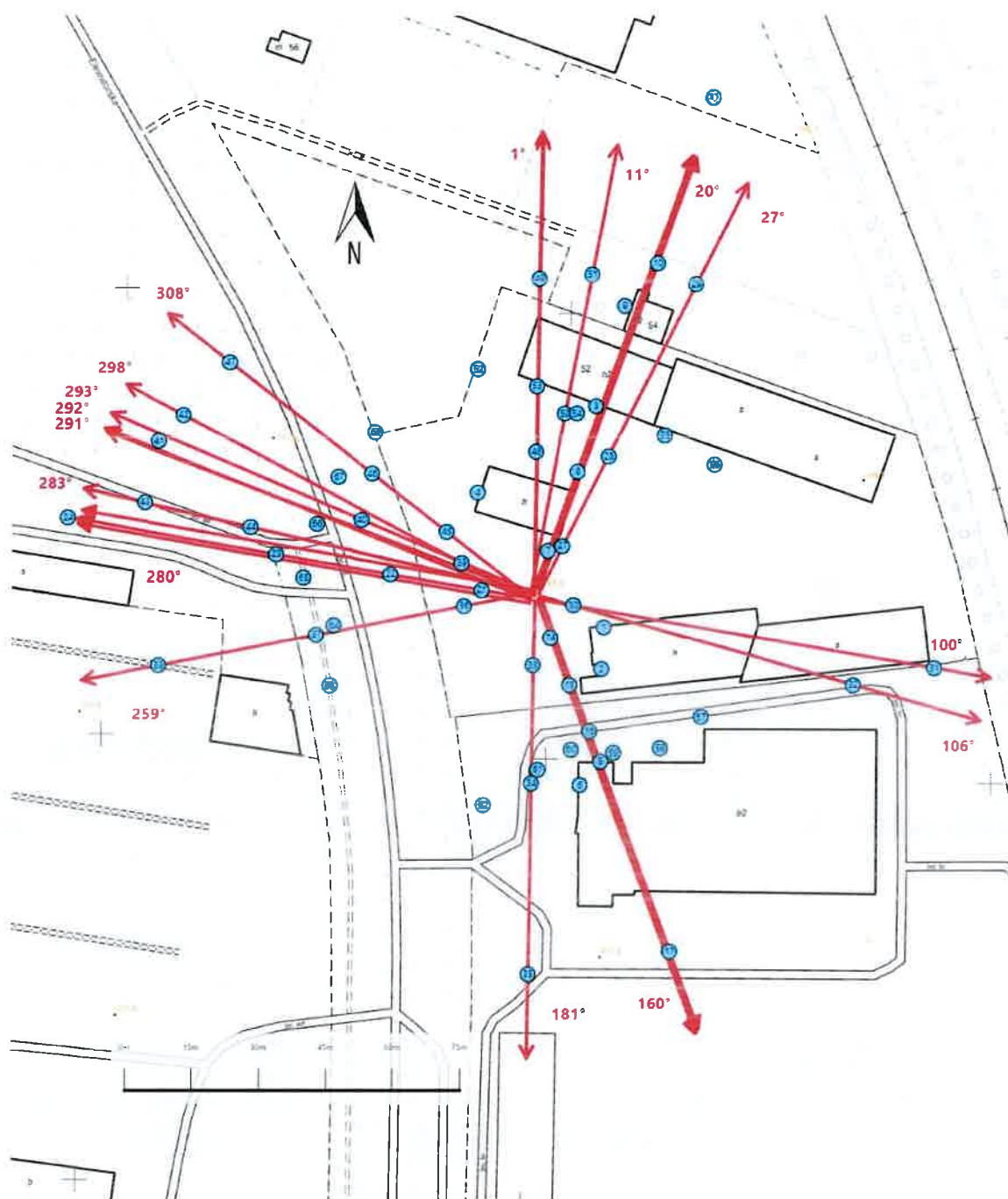






Koniec sprawozdania

Sprawozdanie z badań bez pisemnej zgody laboratorium nie może być powielane inaczej niż w całości.
Wynik przedstawione w niniejszym sprawozdaniu odnoszą się wyłącznie do badanego obiektu i do warunków i konfiguracji urządzeń w dniu wykonywania pomiarów.



Załącznik nr 1	Instalacja radiokomunikacyjna T-Mobile Polska S.A. (96023NI) WBI_BIALYSTOK_ELEWATORSKA52 Lokalizacja instalacji
----------------	---



Załącznik nr 2	<p style="text-align: center;">Instalacja radiokomunikacyjna T-Mobile Polska S.A. WBI_BIALYSTOK_ELEWATORSKA52 (96023N!) Usytuowanie pionów pomiarowych w otoczeniu instalacji radiokomunikacyjnej</p>
	<p>Legenda:</p> <div style="display: flex; justify-content: space-around; align-items: center;"> <div style="text-align: center;">  Brak dostępu </div> <div style="text-align: center;">  Pion pomiarowy </div> <div style="text-align: center;">  Kierunek oddziaływania anten sektorowych </div> <div style="text-align: center;">  Kierunek oddziaływania anten radioliniowych </div> </div>



Załącznik nr 3

Instalacja radiokomunikacyjna T-Mobile Polska S.A.
(96023N!) WBI_BIALYSTOK_ELEWATORSKA52

Dokumentacja fotograficzna